

九州大学 正会員 小坪清真 國田敏矢
 ノ ノ ○井島克志
 九州工業大学 ノ 高西照彦

1. まえがき 著者は鉄塔と送電線の動的相互作用を考慮した合理的な鉄塔の地震応答解析のため、送電線をばねと見なし、送電線両端のはね定数の振動数特性を求めてきた。その結果、鉄塔の地震応答解析の対象となる振動数領域で送電線は数多くの共振点を持ち、そのばね定数の振動数特性曲線は幅の狭いピークや幅の広いピークを持ち、性状が複雑であった。しかし、送電線の地震に対する張力応答には、ばね定数の特性曲線の幅の広いピークに対応するモードのみが支配的であり、幅の狭いピークに対応するモードはほとんど影響しないことがわかった。したがって、送電線のはね定数の振動数特性は幅の広いピークに対応するモードのみによって決まる。

本研究は、種々の送電線についてこれらのモードの固有円振動数、水平付加張力および送電線一端の面内水平変位に対する刺激係数を、送電線の形状および材料特性を表す2つの無次元パラメーターによって計算し、振動形解析法により容易に送電線のはね定数の振動数特性を求める方法を示したものである。なお、送電線の鉄塔に対するばね作用としては、線路方向と線路直角方向があるが、ここでは鉄道面内の微小振動を仮定し、線路方向のはね作用のみを考えた。また、解析においては、送電線は同レベル支持であり、一様等断面とした。

2. 送電線のはね定数の簡易計算法 振動形解析法において採用するモードの個数をNとすると、送電線の固定点(サフィックスf)と強制変位点(サフィックスe)での無次元ばね定数 $\kappa = K/(H/L)$ (ここに、K:ばね定数、H:送電線の初期水平張力、L:送電線の支間)は次式で表される。

$$\left. \begin{aligned} \kappa_f &= \sum_{j=M_1, M_2, \dots}^N \frac{(\omega)^2}{(\omega_j)^2} \frac{\beta_j \bar{\beta}_j(0)}{1 - (\omega/\omega_j)^2 + 2i\zeta_j(\omega/\omega_j)} + \kappa_0 \\ \kappa_e &= \sum_{j=M_1, M_2, \dots}^N \frac{(\omega)^2}{(\omega_j)^2} \frac{\beta_j \bar{\beta}_j(\tau)}{1 - (\omega/\omega_j)^2 + 2i\zeta_j(\omega/\omega_j)} + \kappa_0 \end{aligned} \right\} \quad (1)$$

ここに、 $\omega = \omega_0 / \omega_0$: 無次元円振動数、 $\omega_0 = (\pi/L)\sqrt{H/P}$: 初期張力H、スパンLの弦の基準円振動数、P:送電線の単位長さ当たり質量、 $\omega_j, \zeta_j, \beta_j$: それぞれ次の無次元固有円振動数、減衰定数、刺激係数、 $\bar{\beta}_j(0), \bar{\beta}_j(\tau)$: 初期水平張力Hで無次元化された送電線両端の水平付加張力モードである。また、 $\kappa_0 = K_0/(H/L)$ は送電線の無次元の静的ばね定数で、送電線両端で等しく、次式で表される。

$$\kappa_0 = \alpha / \left[\alpha + \frac{1}{\nu^2} \left\{ \frac{\pi}{2} - \sin^{-1}(\operatorname{sech} \alpha) \right\} - \tanh \alpha - \frac{1}{\nu^2 \sqrt{\nu^2 - 1}} \ln \left(\frac{\nu^2 \cosh \alpha + 1 + \sqrt{\nu^2 - 1} \sinh \alpha}{\cosh \alpha + \nu^2} \right) \right]$$

ここに、 $\alpha = PgL/(2H)$ および $\nu = \sqrt{EA/H}$ (EA は送電線の伸び剛性)である。

式(1)には、ばね定数の特性曲線の幅の広いピークに対応するモードのみ採用され、それらのモードは低振動数域におけるいくつかの横波の対称モードと主に高振動数域の縦波のモードである。これらのモードの $\omega_j, \beta_j \bar{\beta}_j(0)$ および $\beta_j \bar{\beta}_j(\tau)$ は種々の送電線について $PgL/(8H)$ と $\nu = \sqrt{EA/H}$ の2つの無次元パラメーターに対して計算された結果から得られる。一方、減衰定数 ζ_j は、送電線の運動に対する空気抵抗や鉄塔への送電線の振動エネルギーの逸散等により見積られるべきであるが、現在のことごろまだ不明であり、今後の課題と思われる。ただし、Irwin¹⁾は2%を上と述べている。

(a) 低振動数域における ω_j および $\beta_j \bar{\beta}_j(0)$ 低振動数域における対称モードの無次元水平付加張力と刺激係数の積 $\beta_j \bar{\beta}_j(0)$ およびそのモードに対応する無次元固有円振動数 ω_j について、 ν を一定として $PgL/(8H)$ を種々変えてパラメーター解析を行った例で、それとFig. 1 および Fig. 2 に示す。一般に、送電線のサゲ比 (δ/L) は0.03~0.09の間に存在し、この程度の小さい値では $PgL/(8H) \approx \omega_0 L$ である。Fig. 1 において、 β_j は送電線一端の外向き無次元変位の振幅値 $\bar{\delta} = \Delta/L = 1$ のときの値であり、 $\bar{\beta}_j(0)$ は送電線の下向き無次元鉛直変位

$\bar{v}_{max} = \bar{V}_{max}/L = 1$ のときの値である。図中の $S_1 \sim S_5$ は対称モードの 1 次から 5 次を示し、それらのモードにおいて送電線両端の無次元水平応力は等しく ($\beta_j \bar{h}_j(0) = \bar{h}_j(\sigma)$)、これらの対称モードのなかで式(1)に採用されるモードとしては、 $\beta_j \bar{h}_j(0)$ の絶対値が大きいものをとればよい。したがって、 v と $\rho g L / (8H)$ の値に従って、まず、Fig. 1 より $\beta_j \bar{h}_j(0)$ の大きい値から読みとり、

その読みとられたモードに対応する無次元固有振動数 ω_j を Fig. 2 や 3 読みとればよい。

(b) 高振動数域における ω_j および $\beta_j \bar{h}_j(0)$ 高振動数域のモードのなかで、式(1)に採用されるモードは、継波のモードと v の値によってはその継波のモードに近接する横波のモードである。それらのモードの $\beta_j \bar{h}_j(0)$ と ω_j のパラメーター解析例を Fig. 3 と Fig. 4 に示す。継波の 1 次モードは $\beta_b \bar{h}_b(0)$ と ω_b で示され、そのモードに近接する横波の逆対称モードは $\beta_b \bar{h}'_b(0)$ と ω_b' で示されていく。レバ 20 から 50 へと変っても継波の 1 次モードの ω_b は v に等しく、それに近接する横波のモードは 22 次から 50 次へと変化する。 ω_b と ω_b' ほぼ一致するとき、 $\beta_b \bar{h}_b(0)$ と $\beta_b \bar{h}'_b(0)$ の値も一致し、式(1)の形から高振動数域において採用されるモードの $\beta_j \bar{h}_j(0)$ と ω_j は、 $\beta_b \bar{h}_b(0)$ と $\beta_b \bar{h}'_b(0)$ の和と v を用いて差し支えないと思われる。Fig. 5(a) はこの $\beta_b \bar{h}_b(0)$ と $\beta_b \bar{h}'_b(0)$ の和についてパラメーター解析を行ったものであり、式(1)に採用される $\beta_j \bar{h}_j(0)$ は Fig. 3 を用いる必要はなく、Fig. 5(a) を使って求めやすいと思われる。また、継波の 2 次モードの $\beta_j \bar{h}_j(0)$ も同様にして Fig. 5(b) で示されている。なお、この継波の 2 次モードの ω_j は v の 2 倍の値となる。

3. 数値計算例 スパン $L = 998m$, サグ $H = 57m$, 単位長さ当たり重量 $Pg = 29.2 N/m$, 伸び剛性 $EA = 85.1 MN$ の 4 つの値で代表される送電線の無次元ばね定数の数値計算例を Fig. 6 に示す。上記 4 つの値から求めた $\rho g L / (8H) = 0.057$

と $v = 36.5$ の 2 つのパラメーターに従って、Fig. 1, Fig. 2, Fig. 5(a) や 3 比較計算によつて Table 1 に示す近似値が得られる。Fig. 6 では、式(1)において 70 個のモードを採用した解と 5 個のモードのみ採用した解とを比較しているが、実線で示される送電線の地盤応答には現われない共振挙動を除いてはほとんど一致している。

Table 1 Adopted ω_j and $\beta_j \bar{h}_j(0)$ in Eq. (1)

	Approximate values		Exact values	
	ω_j	$\beta_j \bar{h}_j(0)$	ω_j	$\beta_j \bar{h}_j(0)$
S_1	2.80	-69	2.79	-71
S_2	4.65	-413	4.62	-424
S_3	5.52	-659	5.48	-658
S_4	7.07	-45	7.03	-43
1st l.w. mode	36.47	2481	36.54	2445

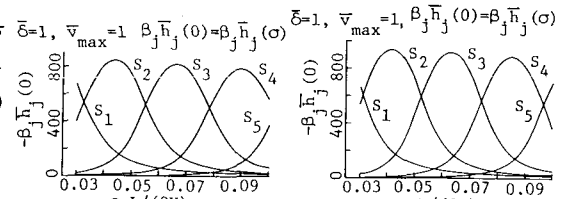


Fig. 1 $\beta_j \bar{h}_j(0)$ of symmetric modes in low frequencies

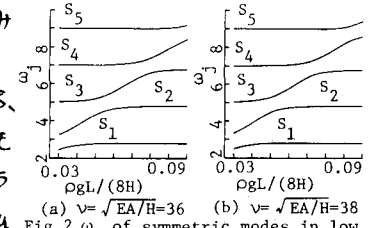


Fig. 2 ω_j of symmetric modes in low frequencies

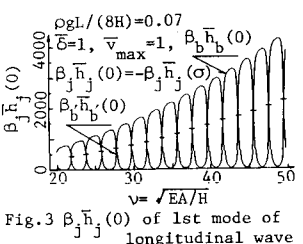


Fig. 3 $\beta_j \bar{h}_j(0)$ of 1st mode of longitudinal wave

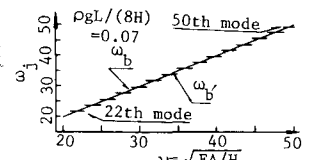


Fig. 4 ω_j of 1st mode of longitudinal wave

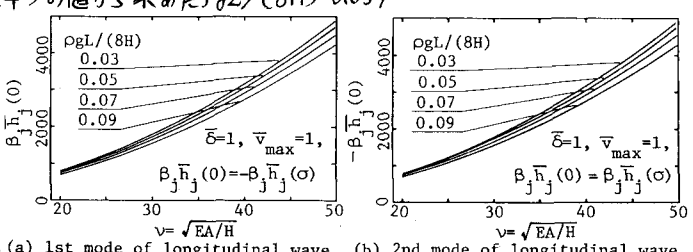


Fig. 5 Revised $\beta_j \bar{h}_j(0)$

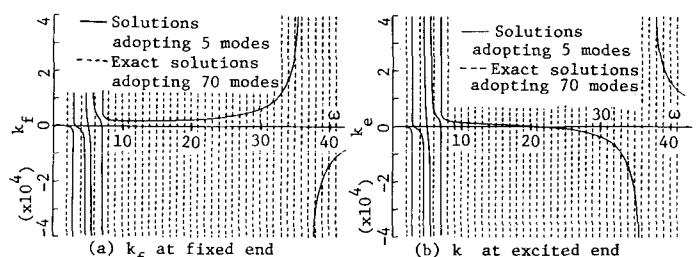


Fig. 6 Dimensionless spring constants of transmission line